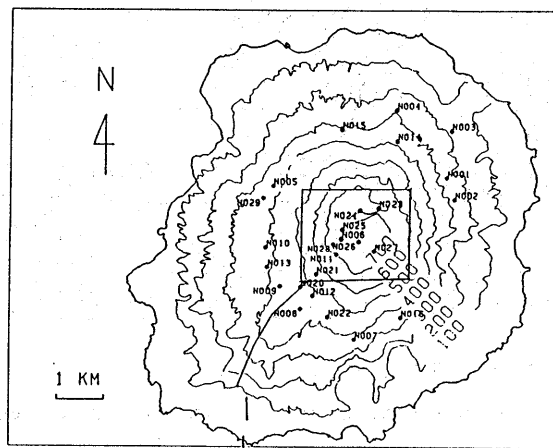


三宅島における電気抵抗変化*

東京大学地震研究所

三宅島では1980年火山集中総合観測の際にELF帯(8~20Hz)のマグネットテルリク法による第1回目の電気抵抗測定を実施した。¹⁾ 1983年10月の噴火後、繰り返し測定を実施してその時間変化を調べてきた。^{2),3)} 1986年度に再び集中総合観測が計画され、その一環として1986年12月に電気抵抗測定を実施した。⁴⁾ ここではそれら測定の中から、目立った変化をした数か所の測定結果について報告する。

中央火口丘雄山周辺の測定で、噴火をはさんで顕著な変化が観測された。第1図および第2図は測点の分布を示す。このうち測点6, 25, 26における繰り返し測定の結果を、見かけ比抵抗値と、電場と磁場との位相差について示したのが第3図である。雄山噴気孔近くの測点6では、1980年10月には見かけ



第1図 観測点分布図。測点1~16は1980年集中観測以来、測点20~29は噴火後新設した。

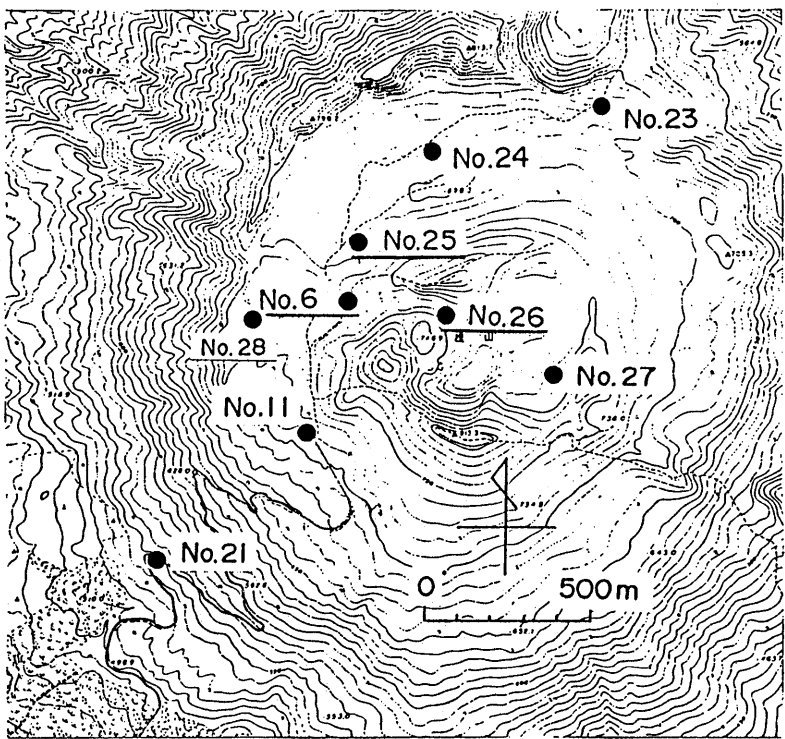
Fig.1 observation sites

比抵抗が $80\text{ ohm}\cdot\text{m}$ であったのが噴火直後の1983年11月8日の測定では $180\text{ ohm}\cdot\text{m}$ に減少しており、その後も引き続き減少し、1984年5月に $40\text{ ohm}\cdot\text{m}$ の極小値を記録して増加に転じた。1984年8月には $90\text{ ohm}\cdot\text{m}$ であったが、今回の測定(1985年12月3日)では $180\text{ ohm}\cdot\text{m}$ と噴火直後の値まで回復した。同様の変化は若干時間の遅れを伴なって測点26についても見られる。

このような変化は、噴火後数か月にわたって熱水が雄山の下の熱水溜りへ供給され、次第に周辺部へ拡散していくと解釈される。位相差の時間的変化もこの解釈を裏付けている。

これに対して、測点6からわずか 200 m 位しか離れていない測点25では噴火後見かけ比抵抗も位相差もほとんど変化していない。これは熱水の供給・拡散が雄山上段火口内に限られていたことを示唆して

* Received May 29, 1986



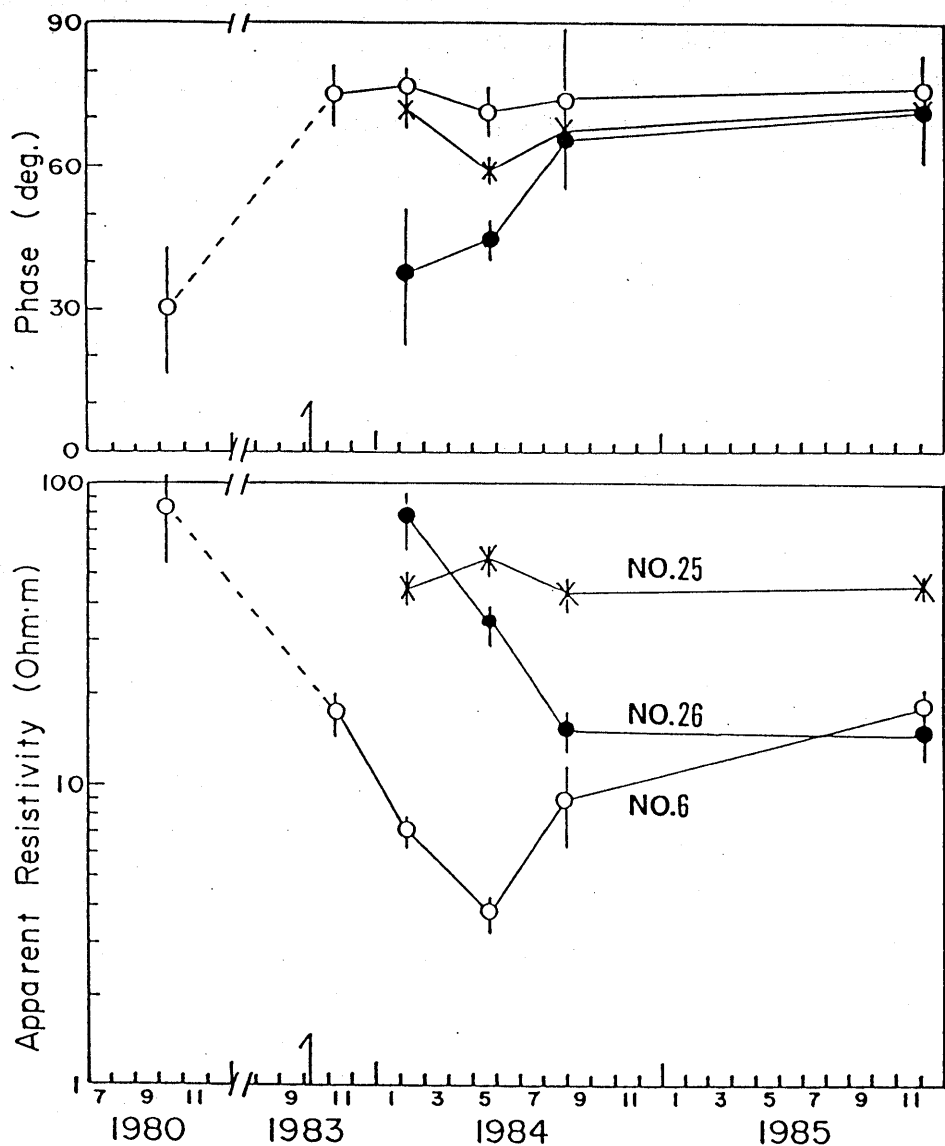
第2図 山頂周辺の観測点分布図。

Fig.2 Observation sites around the central cone

いる。

一方山腹の火口列周辺でも繰り返し測定を行なったが、例えば測定20では噴火後の1983年11月には $19\text{ ohm}\cdot\text{m}$ であった見かけ比抵抗が、今回は $200\text{ ohm}\cdot\text{m}$ に増加した。火口列の冷却が進んでいるものと推定される。抵抗が増加したとはいっても、1962年噴火した火口列などでの $1000\text{ ohm}\cdot\text{m}$ に比べると、まだ低く、完全に冷え切った状態に達したとはいえない。

雄山地域でも山腹の火口列でも見かけ比抵抗の増加が進み、火山活動終息の傾向が明瞭に見られるが、抵抗変化が完全に停止するには、なお若干の時間がかかると思われる。



第3図 測点6(○)・25(×)・26(●)における繰り返し測定結果。
下が見掛け比抵抗、上が電場と磁場の位相差。横軸上の矢印は、
1983年10月3日の噴火をあらわす。

Fig.3 Time variations in the apparent resistivity and the phase difference between electric and magnetic field variation for 8 Hz at the sites, No.6, No.25 and No.26.

参考文献

- 1) 行武 豪・吉野登志男・歌田久司・河村 謙・大地 洋・小池捷春・O·A·Veliz Costillo・田中良和・三品正明(1982)：三宅島における電気抵抗測定，三宅島集中総合観測報告，43-53。
- 2) 東京大学地震研究所(1984)：三宅島における電気抵抗測定，噴火予知連会報，30, 15-23。
- 3) 歌田久司・笹井洋一・中川一郎・小山 茂・石川良宣・浜野洋三(1984)：1983年三宅島火山の噴火に関連した電気比抵抗変化，火山29, S 113-S 124。
- 4) 歌田久司・笹井洋一・下村高史・行武 豪・山本哲也(1985)：三宅島における1983年噴火後2年間の電気比抵抗変化，第2回三宅島集中総合観測報告，印刷中。